

文 献 目 録

文献調査委員会

注：○掲載順序：雑誌名・巻号・発行年月・分類番号・論文名・ページ数・著者
○題目の前のカッコ内数字は文献調査委員会文献分類番号 (Vol. 54, No. 11, 掲載)
(分類番号別刷ご希望の方は送料 15 円を同封の上事務局編集課までお申込み下さい)
○巻号の後の・印は土木学会付属土木図書館備付図書であることを示す。

高速道路と自動車 12-1* 69-1

- 1 関東ローマによる道路土工の実態 (76-86) 高速道路調査会関東ローマ専門委員会
- 2 阪神高速道路の交通量配分計算法 (72-75) 三品・松尾
高速道路と自動車 12-5* 69-5
- 3 (1730) (1510) 東京都内の貨物輸送の分析 (20-24) 関根恒郎
- 4 (1545) (1582) 東名高速道路の問題点とその対策 (25-35) 橋本・渡辺
- 5 (1640) (1641) トンネル掘削機の試作 (52-60) 速藤一郎
- 6 (1500) 土木工学用電子計算システム (ICES) の紹介 (Ⅲ) (61-67) 森・市川
- 7 (1530) (1540) 車線幅が交通運行に与える影響 (72-76) Vey, A.H., 外 1 名
高速道路と自動車 12-6* 67-6
- 8 (1530) アブストラクト・トランスポート・モードに対する需要：理論と計測, (72-80) *Quandt, R.E.*, 外 1 名
- 9 (1550) (1560) 統計手法による道路材料基準の検討 (81-92) *Shah, S.C.*, 外 1 名
高速道路と自動車 12-7* 69-7
- 10 (1531) 道路事故による死亡の確率減少 (75-81) *Lee, M.J.*
- 11 (1530) (1543) 2車線流入ランプ (82-87) *Pfefer, R.C.*
- 12 (1500) (1511) 自動車需要の長期予測 (25-29) 上野裕也
- 13 (1531) (1611) トンネル走行時の心理的問題 (30-33) 小林実
- 14 (1500) (1520) アメリカ合衆国の将来の道路の必要性に関する研究報告書 (1968~1985) (Ⅲ) (43-56) 今野源八郎
高速道路と自動車 12-8* 69-8
- 15 (1500) (1511) 通勤交通の費用分析 (23-26) 山根・小林
- 16 (1530) 交通量配分理論の分類と特質 (27-34) 星野哲三
- 17 (1521) (1531) 高速タイヤの接地性とその開発 (35-43) 小林隆
- 18 (1500) (1730) アメリカ合衆国の将来の道路の必要性に関する研究報告書 (1968~1985) (Ⅲ) (58-61) 今野源八郎, 外
- 19 (1749) (1782) コモンカー システム (62-67) 市川義博
- 20 (1782) (1785) 道路騒音の調査研究報告 (72-78) 子安 勝
- 21 交通における時間問題の経済的側面 (79-84) *Funck, R.*
- 22 総合的路線選定法 (85-93) *McHarg, I.L.*
パーキング プレス 93 69-7
- 23 (1734) (1584) 駐車場と防火シャッター (13-15) 助川四郎
パーキング プレス 94 69-8
- 24 (1734) (1584) 機械式駐車装置による大規模駐車場のレイアウト (1-4) 立松泰男
パーキング プレス 95 69-9
- 25 (1734) (1584) 駐車問題に関する調査報告 (23-24) 全日本商店街連合会

- 26 (1734) (1584) 駐車場整備の現況とその将来 (1-22) 建設省都市再開発課
パーキング プレス 97 69-11
- 27 (1734) (1584) 駐車場の概要 (1-8)
パーキング プレス 98 69-12
- 28 (1734) (1584) 駐車需要観測について (1-7) 矢是栄士
下水道協会誌 6-62* 69-7
- 29 (1310) 積雪地方の下水道 (2-7) 寺島重雄
- 30 (1310) 下水道事業の課題 (9-16) 久保 起
- 31 (1340) (1344) 和歌川の水質基準の設定について (17-23) 坂本弘道
- 32 (1334) (481) 遠心力鉄筋コンクリート管の外圧強さについて (Ⅱ) (24-32) 富樫昭一, 外 2 名
- 33 (1314) (1316) (1331) 活性汚泥の酸素消費速度に対する基質濃度の影響 (33-38) 佐藤孝彦
- 34 (1314) 日光市湯元終末処理場の概要 (44-46) 斎藤善蔵
下水道協会誌 6-63* 69-8
- 35 (1310) (1398) 新都市計画法と下水道 (2-12) 中嶋計廣
- 36 (1316) (1331) 活性汚泥に関する操作因子について (13-23) 宗宮 功
- 37 (1310) (1311) 下水道事業調査費による調査報告の概要(1) (24-44) 建設省土木研究所下水道研究室
- 38 (1314) 浜松市中部終末処理場の概要 (45-50) 太田 敏
下水道協会誌 6-64* 69-9
- 39 (1364) (1365) 液中燃焼により直接加温した尿の濃縮および汚過 (2-10) 渡部 勇, 外 2 名
- 40 (1312) バケツマシン式管渠清掃とダブルバケッティング方式について (11-16) 酒井錠夫
- 41 (1314) 岡崎市衛生センター下水処理場の概要 (17-23) 小栗進
- 42 (1314) 小田原市寿町下水処理場の施設概要と運転状況について (24-29) 大沢喜一
- 43 (1318) 下水汚泥の処理, 処分について (ゼミナール) (39-123) 北村誠一, 外 7 名
下水道協会誌 6-65* 69-10
- 44 (1310) (1398) 昭和 45 年度下水道事業予算要求概要 (2-11) 久保 起
- 45 (1310) (1398) 昭和 45 年度下水道地方償計画案の概要 (12-18) 持永堯民
- 46 (1310) (1340) 欧米における下水道および水質保全の趨勢 (19-27) 玉木 勉
- 47 (1314) 猪名川流域原田下水処理場の概要 (28-35) 武島繁雄
- 48 (1310) (1398) 下水道特別料金決定に関する具体例について (36-38) 洞沢 勇
下水道協会誌 6-66* 69-11
- 49 (1310) (1398) 地方交付税による下水道整備事業への財源措置 (2-12) 成田実代治
- 50 (1311) (814) 沖縄地方における 確率降雨強度 (13-20) 喜納政修
- 51 (1316) (1330) スパージャー型エアレーションの酸素移動に関する基礎的研究 (21-28) 北村誠一, 外 2 名
- 52 (1314) 長崎市茂里町下水処理場の概要 (29-37) 那須 勉
下水道協会誌 6-67* 69-12
- 53 (1316) (1360) 円形エアレーションタンクとインジェクターによるし尿消化脱離液の活性汚泥法処理実験 (2-8) 針生昭一
- 54 (1314) 岡山市旭西下水終末処理場の概要 (9-14) 山根末太



どんな用途のコンクリートでも
ポゾリスがすべてを解決します



標準型 遅延型 早強型

高層建築、高速道路、ダム、トンネル、
護岸、橋梁、二次製品、ポンプ等……
コンクリートは、多種多様の方面に使わ
れます。そしてかならず要求されるもの
それは——

良い性能……ワーカビリティ、強度、耐久性
等の特性がよくコントロールされたコン
クリートです。

決定的事実……ポゾリスは、こうしたコンク
リート、つまりワーカビリティ、強度、
耐久性が優れて経済性のあるコンクリ
ートをつくるのに必ずお役にたちます。

東京都港区六本木3-16-26 ☎ 582-8811
大阪市東区北浜3-7 (広銀ビル) ☎ 202-3294
仙台市一番丁3-1-1 (富士ビル) ☎ 24-1631

ポゾリス物産株式会社
日曹マスタービルダーズ株式会社

名古屋市中区栄4-1-7 (朝日生命館) ☎ 262-3661
広島市八丁堀12-22 (築地ビル) ☎ 21-5571
福岡・二本木・高岡・札幌・千葉・高松

水処理技術 10-1* 69-1

55 (1340) (1398) 国際水質汚濁研究会への期待 (1-4) 岩井重久

56 (1316) (1331) 活性汚泥の生物学 (1) (5-12) 高橋俊三, 外2名

57 (1318) 水酸化物フロック, 薬品沈殿汚泥及び生汚泥の凍結融解処理が脱水性状へ及ぼす影響 (13-23) 川島・佐伯

58 (1330) シアンの迅速簡易定量 (25-30) 津山明宣

水処理技術 10-2* 69-2

59 (1316) (1331) 活性汚泥の生物学 (2) (1-13) 藤田・関口・加藤

60 (1316) (1330) 活性汚泥と活性炭の吸着機構の相似性について (15-18) 橋本・藤田

61 (1344) 明渠排水の泥濁による蓄養サクラマス親魚のへい死実例について (19-23) 黒田・川端

水処理技術 10-3* 69-3

62 (1316) (3331) 活性汚泥の生物学 (3) (1-6) 関口義彰

63 (1318) 下水生汚泥の混合汚泥のフィルタープレスによる恒圧汚過及び変圧汚過の実験的考察 (1) (7-16) 川島・高田

64 (1305) (1330) 凝集沈殿の機構に関する研究 硫酸イオンとアルミニウムイオンの反応 (17-23) 岩瀬・四ツ柳・後藤

65 (1364) 豚ふん尿の処理 (25-33) 和賀・近藤・高橋

水処理技術 10-4, 69-4

66 (1331) 汚水生物体系論(1) (1-12) 津田松苗

67 (1316) (1331) 活性汚泥の生物学 (4) (3-10) 関口・加藤

68 (1316) 実際施設による Biosorption Process の浄化機構におよぼす影響因子 (11-26) 橋本 奨

水処理技術 10-5* 69-5

69 (1331) 汚水生物体系論 (2) 物質代謝派のいき方 (1-11) 津田松苗

70 (1316) (1331) 活性汚泥の生物学 (5) (13-24) 才木・前田

71 (1316) 活性汚泥法における溶解性 PO_4^{3-} の利用 (25-32) 杉本・大越

72 (1305) (1330) 凝集理論展開の工夫 (37-41) 武田稲隆

水処理技術 10-6* 69-6

73 (1331) 汚泥生物体系論 (3) (1-4) 津田松苗

74 (1316) (1331) 活性汚泥の生物学 (6) (5-12) 高橋・加藤

75 (1331) 活性汚泥とその微生物 (13-22) 木内・相田

76 (1365) オキシディン・デッチ方式による家庭用浄化槽の開発とその浄化機能 (23-36) 本多・村田・衣笠・久保田

77 (725) パーシャルせきの設計 (37-40) 佐々木效

78 (1316) (1364) 海水による尿尿脱離液の低稀釈曝気について (45-49) 土肥・安田

日本原子力学会誌 11-10* 69-10

79 (1353) 活性炭による放射性ヨウ素の除去に関する研究(II) 活性炭フィルタのヨウ素及びヨウ化メチル除去効率 (14-19) 村田・神谷

80 (1259) (1356) 核燃料再処理技術に関する諸問題 (34-40) 再処理研究専門委員会

水理・海岸・河川

La Houille Blanche* 69-3

81 (764) 分子拡散 (219-227) Meyer, G.

82 (703) 乱流拡散係数についての理論的考察 (229-235) Fortier, A.

83 (750) 水平な多孔体層における熱伝道と渦について, (237-245) Bories, S., 外1名

84 (799) ナフタリンの昇華を利用した熱および質量輸送の相

似, (247-252) Geffroy, J., 外1名

85 (792) 細い線のウエイクにおける乱流拡散 (253-258) Taccoen, L.

86 (719) 管内の流れの拡散について (259-274) Caseau, P., 外1名

87 (744) 乱流拡散による河床上の質量輸送について, (275-283) Ceuret, F., 外2名

88 (764) (1352) 放射性物質を貯蔵したプールの流体スクリーン (285-292) Dollfus, J., 外2名

La Houille Blanche* 69-4

89 (705) (798) 大気境界層における拡散のシミュレーション (327-344) Méry, P.

90 (721) (740) 植生上の乱流拡散—熱および質 輸送の研究への応用— (345-352) Guyot, G.

91 (764) (798) 工業プラントにおける乱流拡散 象 (353-362) Geneste, L., 外2名

92 (714) 2つの隣接する平行パイプ間のオリフ ス内部における乱流拡散 (363-372) Bousquet, J.L., 外1名

93 (709) 蒸気管束に関する実験 (373-380) Boissier A., 外2名

94 (1358) ハーグ核センターにおける低放射能物 海中廃棄 (381-394) Ausset, R.

La Houille Blanche* 69-5

95 (790) オリフィス, ノズルおよびベンチュリー 現在の標準化について (441-454) Thibessard, G.

96 (790) オリフィス, ノズルおよびベンチュリー管使用による変動流量測定について (455-463) Fortier, A.

97 (790) 蒸気タービン検査におけるオリフィス使用の流量測定 (465-473) Roy, M.

98 (790) (791) 工業的流量計測法の最近の進歩 (475-481) Gabaudan, J., 外1名

99 (854) 海外の洪水流量測定について (483-487) Rodier, J.

100 (854) 植生の盛んな河川の流量決定について (489-492) Goubet, A.

101 (791) (792) 変形ビトー管による管内の流量測定法 (493-498) Mathivet, P.

102 (1279) 観測所や発電所における記録, 遠隔指示およびデータ処理装置の新しい進歩について (499-504) André, H., 外1名

103 (853) 河川水位測定の新しい試み (505-517) Dubreuil, P., 外1名

104 (859) 流域の管理装置 (流域内の種々のデータのコントロールネットワークについて) (519-523) Clerc, F.

105 (795) 稀釈法による管内流量測定法 (525-533) Silberstein, J.P.

106 (792) (795)(797) トレーサーと流量測定法 (535-539) André, H.

107 (790) 流量測定用堰の現況 (541-548) Castez, L.

108 (1380) (1384) 下水や土砂を多く含んだ流れの流量測定法 (549-555) Lefrou, C.

109 (790) モービルスクリーンその他の方法による流量測定結果の比較 (557-562) Bonnafoux, R.

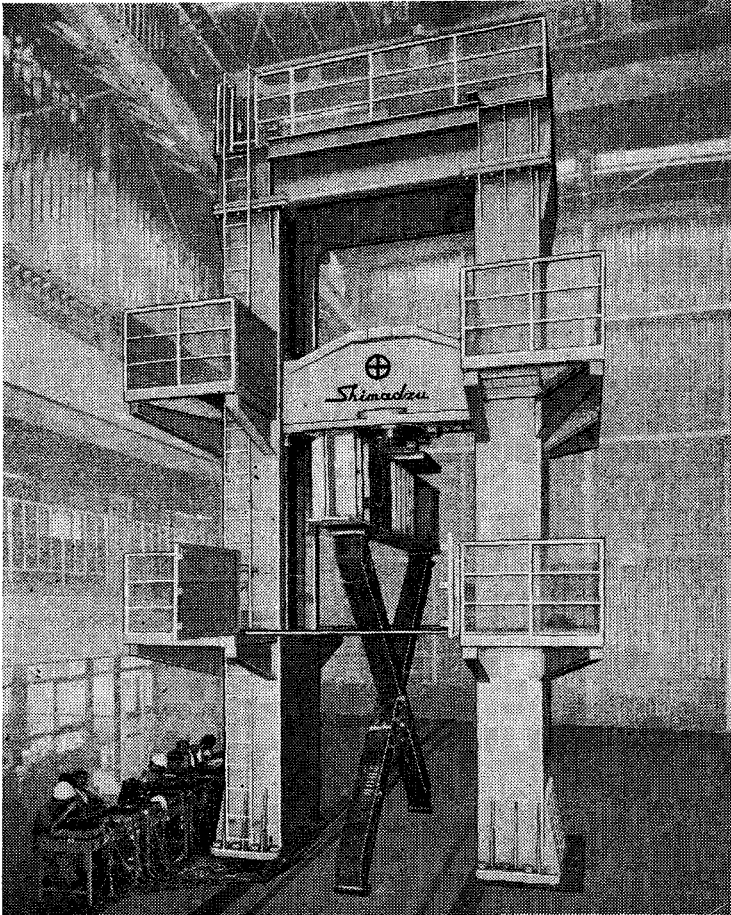
Jour. of Marine Research 27-1* 69-1

110 (1016) 一様に回転している半無限海域における階段上地形に沿う長波 (1-6) Larsen, J.C.

111 (1083) 大型ブイで観測した波の方向 (7-23) Rundnick, P.

112 (1086) 中部北太平洋の深海の性質および流れ (24-31) Reed, R.K.

電子管自動平衡式 島津 1000ton 構造物試験機



本機は 土木・建築用構造物 その他各種大形構造物供試体の圧縮および曲げの実体試験を行なうものがあります。

〈特長〉

- **タテ形4基負荷シリンダ方式**
油圧シリンダの配置が自由なので負荷シリンダおよび耐力部品の重量が軽減され 供試体破壊時のショックが小さい。
- **下ラム引き下げ負荷方式**
駆動部は全て地下に設置され 機械の重心が低く安定でありベッドが静止したまま負荷が行なえるので 供試体の形状に左右されずきわめて使いやすい。
- **機械の4点支持方式**
(特許出願中)
機体は4個の支承で地盤に対して支えられ 将来の地盤変動による傾斜・沈下などに対して容易に修正できるので 荷重精度保持の上できわめて効果的であります。
- **ゼロメソドによる計力**
計力には 最新の電子工学技術を巧みに応用した ゼロメソドによる電子管自動平衡式計力機を採用しています。

〈仕様〉

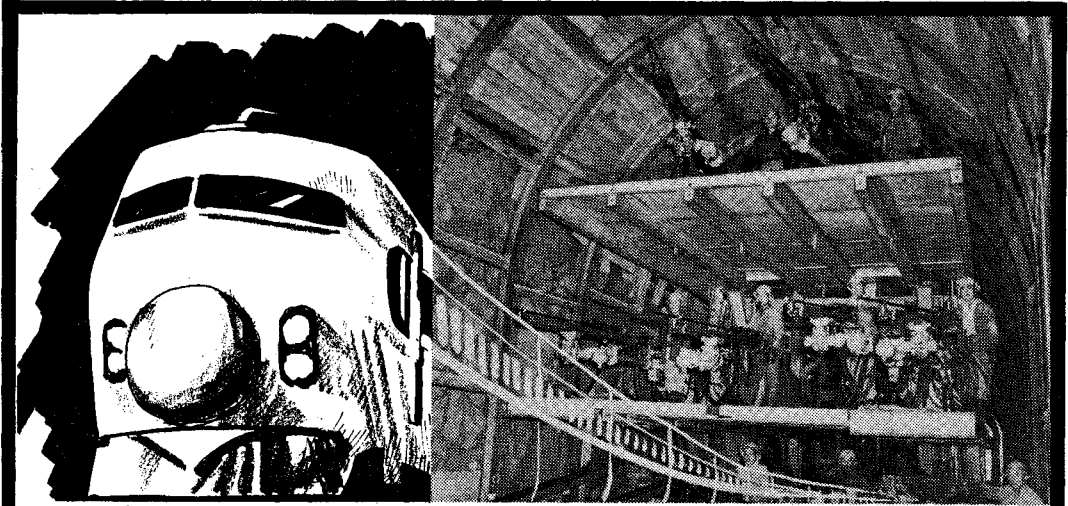
ヒョウ量	1000, 500, 200, 100, 50ton 5段
圧縮間隔	7m 圧盤の大きさ 1.5×1.5m
曲げスパン	max 20m
支柱間隔	2.5m



島津製作所

カタログご請求・お問合せはもよりの営業所へ
 東京292-5511 大阪541-9501 福岡27-0331 名古屋563-8111 広島43-4311
 京都211-6161 札幌 24-0216 仙台21-6231 神戸 33-9661
 または精機事業部 604 京都市中京区西ノ京桑原町1 TEL(075)811-1111

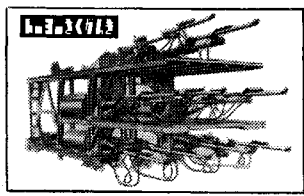
- 113 (1083) 吹送域表面の音響による測定 (45-54) *Pruitt, R.A.*, 外2名
- 114 (1019) (763) 地衝流に直角方向への内部波の伝播 (85-98) *Healey, D.*, 外1名
- 115 (1049) 閉じた β -平面の海における Ekman 垂直流速 (99-120) *Gates, W.L.*
- 116 (1041) フロリダ海流の動的性質について (121-150) *Schmitz, Jr, W.J.*
- 117 (1086) (791) 流速測定のための自由落下式流速計について (153-157) *Richardson, W.S.*, 外2名
Jour. of Marine Research 27-2* 69-5
- 118 (1016) 波の方向スペクトルの幾つかの測定 (163-171) *Ewing, J.*
- 119 (762) (764) 温度維持のための垂直流および渦拡散 (172-190) *Overstreet, R.*, 外1名
- 120 (1046) 一様勾配の浜における沿岸流の形成 (206-215) *Bowen, A.J.*
- 121 (1021) (1015) 現地風波と実験風波の比較 (216-225) *Hess, G.D.*, 外2名
- 122 (1041) 底面地形が変化しているところの海流 (226-240) *Clarke, R.A.*, 外1名
- 123 (1042) 内部潮流の海岸形成に作用する摩擦および表面斜め入射潮流の影響 (241-259) *Weigand, J.G.*, 外3名
Jour. of Marine Research 27-3* 69-9
- 124 (1015) (1019) 風波スペクトルの等価領域に関する二, 三の新しい観測 (273-277) *Garrett, J.*
- 125 (1042) フロリダ海峽における計算と実測の比較 (278-292) *Broida, S.*
- 126 (1041) (1086) プラスチック漂流カードの回収により推論した海流の平均速度 (293-300) *Stander, G.H.*, 外2名
- 127 (761) 海の境界層の数値モデルにおける慣性および日周期運動 (301-317) *Pandolf, J.P.*
- 128 (820) 実験室および海洋の蒸発 (335-338) *Schooley, A.H.*
Jour. of Fluid Mechanics 37-3 69-7
- 129 (1020) double Kelvin waves の発生について (417-434) *Mysak, L.A.*
- 130 (709) 垂直な衝撃力により自由水面を有する円筒器内の流体に生ずる運動 (435-448) *Milgram, J.H.*
- 131 (740) 圧縮性の乱流境界層へ空気注入した時の流速分布 (449-456) *Squire, L.C.*
- 132 (707) 下面から熱せられて生ずる対流で運ばれる輸送熱量の Howard による上限値について (457-477) *Busse, F.H.*
- 133 (709) 任意形状の二次元対称ノズルからの噴流 (479-489) *Larock, B.E.*
- 134 (782) カルマン渦列の形成の煙による観測 (491-496) *Zdravkovich, M.M.*
- 135 (707) 輻射熱の輸送を伴う self-similar piston の問題 (497-512) *Helliwell, J.B.*
- 136 (705) 衝撃的に発生される収束していく円筒衝撃波と球面衝撃波の初期伝播 (513-528) *Bach, G.G.*, 外1名
- 137 大気乱れによる sonic bangs の振りについて (529-563) *Crow,*
- 138 (709) 固定球を通る流れの上流に入れられた小粒子の軌跡と粒子衝突 (565-575) *Michael, D.H.*, 外1名
- 139 (702) (782) 限界レイノルド数の範囲での円筒からの渦のはく離について (577-585) *Bearman, P.W.*
- 140 (709) (713) 大動脈弁での流速分布と圧力分布に関しての風洞内での模型実験と解析 (587-600) *Bellhouse, B.J.*
- 141 (709) 定常流ならびに非定常流中での液滴の変形 (601-623) *Cox, R.G.*
Jour. of Fluid Mechanics 37-4 9-7
- 142 (703) (720) 非圧縮性流体中の三次元乱流境界層の計算 (625-642) *Nash, J.F.*
- 143 (764) 成層流体中での乱流層の発達について (643-655) *Kato, H.*, 外1名
- 144 (709) (789) 二平行板間に拘束された円柱のまわりのストークス流 (657-670) *Lee, J.S.*, 外1名
- 145 (709) 軸対称な空腔を通る流れの数値解 (671-688) *Brennen, C.*
- 146 (707) 熱絶縁された円筒内の回転成層流の spin down problem (689-699) *Sakurai, T.*
- 147 (792) Cylindrical quartz-insulated hotfilm sensors による水銀中の乱れの測定について (701-713) *Malcolm, D.G.*
- 148 (709) 液滴が他の流体中を運動する時の振動と減衰についてのノート (715-725) *Subramanyam, S.V.*
- 149 (709) 非圧縮流体の三次元ナビエ・ストークス式の数値積分 (727-750) *Williams, G.P.*
- 150 (701) 低レイノルド数で球を通る流れについて (751-760) *Chester, W.*, 外2名
- 151 (769) 非定常・不等流と内部波の相互作用について (761-771) *Wang, Y.C.*
- 152 (709) 物体のまわりの長周期波の trapping について (773-784) *Longuet-Higgins, M.S.*
- 153 (707) 低プラントル数での自由対流 (785-798) *Kuiken, H.K.*
- 154 (709) (789) 低レイノルド数で長波長の蠕動ポンプの解析 (799-825) *Shapi, or A.H.*, 外2名
Jour. of Fluid Mechanics 38-1 69-8
- 155 (709) jet noise の形状を支配する四重相関について (1-24) *Ribner, H.S.*
- 156 (709) ピストンの運動が爆発で生ずる気体運動に与える影響 (25-37) *Goldsworthy, F.A.*
- 157 (701) (703) 三次元層流・乱流のせん断層の安定 (39-59) *Lessen, M.*, 外2名
- 158 (709) 非粘性成層流体中の重力波の抵抗についての計算 (61-73) *Mackinnon, R.F.*, 外2名
- 159 (709) 一列にならんだ球粒子を内部に含む円管内の粘性流 (75-96) *Wang, H.*, 外1名
- 160 (707) 外界の自然対流内の粘性減衰 (97-107) *Gebhart, B.*, 外1名
- 161 (709) shock tube の境界層内の相互作用領域 (109-125) *Ban, S.D.*, 外1名
- 162 (709) (705) analytic blunt body により生ずる plane shock の回折 (127-136) *Moran, J.P.*, 外1名
- 163 (707) レイノルド数ならびにグラスホッフ数が小さな時の球からの混合対流 (137-159) *Hieber, C.A.*, 外1名
- 164 (705) 超音速の境界層の outer-edge の問題について (161-179) *Lee, R.S.*, 外1名
- 165 (710) (720) 十分に発達した管路ならびに水路の流れにおける抵抗と流速分布に関する観測 (181-201) *Patel, V.C.*, 外1名
- 166 (707) cellular convection に与える垂直境界の影響 (203-224) *Segel, L.A.*
Jour. of Fluid Mechanics 38-2 69-9
- 167 (706) 電磁流体力学において電氣的に発生された流れ (その3) 球形電極間の流れに対する漸近理論 (225-242) *Hunt,*



〈トンネル新幹線〉着工!

トーヨーTYBP-J
ドリルジャンボ

大阪一博多間を三時間半で結ぶ山陽新幹線の建設もいよいよ本格化、全長560キロのうち実に270キロ、49%もがトンネル、トンネル新幹線の異名をとるのももっともなことです。大型機械化時代に即応したトーヨージャンボは、すでにその性能を各地のトンネル工事です証し、工期短縮に大きな威力を発揮しています。



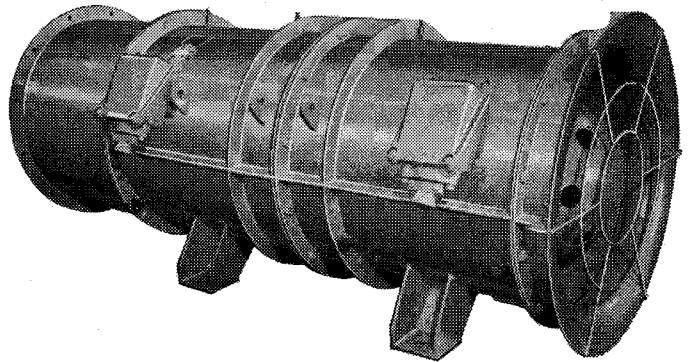
発売元
東洋さく岩機販売株式会社
東京都中央区日本橋江戸橋3-6
 支店・営業所：大阪・名古屋・福岡・札幌・仙台・高松・広島
 製造元・広島 **東洋工業株式会社**

MITSUBISHI MIIKE 高効率を発揮する 三井コントラファン

- 特長 ①動翼のみの二重反転方式 ②静翼のロスがなく極めて高効率 ③小型軽量化成功 ④逆送風時効率は他種扇風機に比べ抜群 ⑤分割し単段として1/2動力で使用可能 ⑥騒音量少く耐久性大

●主要仕様

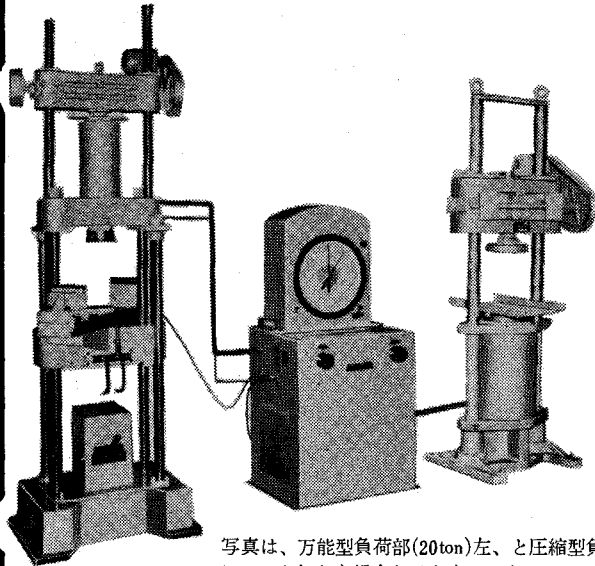
区 分	50%地区用	60%地区用
型 式	MFA60P2 -C6SM型	MFA70P2 -C3SM型
風 量	400m ³ /min	400m ³ /min
送風機全圧	300mmAq	300mmAq
回転数(同期)	3,000rpm	1,800rpm
電 動 機	15kW×2台	15kW×2台



株式会社 三井三池製作所 本店 / 東京都中央区日本橋室町2丁目1番地の1
 電話 東京(270)2001(代表)
 営業関係 / 東京・三池・福岡・広島・大阪・名古屋・札幌

- J.C.R., 外1名
- 168 (706) low magnetic Reynolds number の自由境界層流の安定に及ぼす平面的な磁場の影響 (243-253) *Abas, S.*
- 169 (709) 風で生ずる海洋中の循環の実験モデル (255-271) *Beardsley, R.C.*
- 170 (702) Orr-Sommerfeld 方程式に対する固有値帯に関するノート (273-278) *Yih, C.S.*
- 171 (707) 有限な幅で有限な振幅の対流 (279-303) *Newall, A.C.*, 外1名
- 172 (709) 乱流で生ずる板の振動に対する real space-time Green 関数の応用 (305-313) *Crighton, D.G.*, 外1名
- 173 (709) 渦と swirling core flow の強さについて (315-333) *Morton, B.R.*
- 174 (706) 回転する共軸板間の電磁流体力学的な流れ (335-352) *Stephenson, C.J.*
- 175 (706) 垂直に作用する磁力をうける非等方性表面波 (353-364) *Shercliff, J.A.*
- 176 (709) (763) 水深が変化する不等質な流体中の内部波の伝播 (365-374) *Keller, J.B.*, 外1名
- 177 (707) 成層塩水を入れた容器の垂直面を熱して形成される対流に及ぼす水平傾斜の影響 (375-400) *Thorpe, S.A.*, 外2名
- 178 (702) 不安定な平面ポアジェユ流の非線型理論 (401-414) *Dowell, E.H.*
- 179 (709) 水中に沈められた二次元物体を通るポテンシャル流の高次微小振動理論による解析 (415-432) *Salvesen, N.*
Jour. of Fluid Mechanics 38-3 69-9
- 180 (749) 円管内の軸対称乱流による質量輸送 (433-455) *Quarmby, A.*, 外1名
- 181 (749) 円管内の軸対称ではない乱流による質量輸送 (457-472) *Quarmby, A.*, 外1名
- 182 (702) ゲルトラー渦の下端の遷移発達状態の可視化 (473-480) *Wortmann, F.X.*
- 183 (706) magnetic Reynolds 数が小さい時の流れに横断方向の磁力場内の電磁流体力学的境界層の研究 (481-498) *Buckmaster, J.*
- 184 (1023) 有限水深の水中におかれた矩形体による表面波の散乱 (499-511) *Mei, C.C.*, 外1名
- 185 (709) ただ一つの外部条件をうける境界層流の例としての reacting flow (513-535) *Conti, R.*, 外1名
- 186 (709) (749) 低いレイノルド数の流れの中にある一群の球粒子に働く抗力 (537-546) *Tam, C.K.W.*
- 187 (709) 非常にほっそりした軸対称な物体を通る粘性流の hypersonic weak-interaction theory による解析 (547-564) *Cross, A.K.*, 外1名
- 188 (782) 低レイノルド数でのほっそりした円錐体からの渦のはく離 (565-576) *Gaster, M.*
- 189 (792) (764) 軸対称な乱流の非圧縮等で温の噴流の測定について (577-612) *Wygnanski, I.*, 外1名
- 190 (709) ドルフィン減速する swimming motion についてのノート (613-617) *Nüiler, P.P.*, 外1名
- 191 (709) 非線型の Lamb-Taylor 不安定に関する問題 (619-631) *Nayfeh, A.H.*
- 192 (709) 気体と粒体の混合体内における衝撃波の存在とその単一性 (633-655) *Schnbert, B.S.*
Jour. of Fluid Mechanics 38-4 69-10
- 193 (709) 回転流体中での断熱状態での攪乱による横方向への伝播波 (657-671) *Sozou, C.*, 外1名
- 194 (709) 軸方向の流れで生ずる pinch をうける電磁気体力学上の圧力軸受 (673-677) *Ramanaiah, G.*
- 195 (764) (709) 液体噴流の崩壊 (679-688) *Huebner, A.L.*
- 196 (764) (709) 粘弾性流体の層流噴流の破壊 (689-711) *Golden, M.*, 外3名
- 197 (709) 粘性流体中の曲げ剛性を有しない円筒の力学的挙動 (713-720) *Orloff, C.R.*, 外1名
- 198 (706) 回転している dielectrophoretic equilibria の安定とその力学 (721-742) *Calvert, R.T.*, 外1名
- 199 (703) 格子乱れにおけるエネルギー輸送スペクトルの測定 (743-763) *Atta, C.W.*, 外1名
- 200 (709) 自由せん断流中の空間的に成長する三次元攪乱についてのノート (765-767) *Michalke, J.P.*
- 201 (709) 円筒シエルの力学的不安定について (769-791) *Somon, J.P.*
- 202 ポワジェユ流の発達 (793-806) *Wilson, S.*
- 203 (709) 二共軸円筒間のクエット流内のトルクの上限 (807-815) *Nickerson, E.C.*
- 204 (709) sink の流れによる乱流境界層 (817-831) *Lauder, B.E.*, 外1名
- 205 (709) 二平行平面間に含まれた回転成層流体中の軸対称物体の運動 (833-842) *Krishna, D.V.*, 外1名
- 206 (209) 一樣でない断面をもつ管内の swirling flow (843-854) *Chow, C.Y.*
Jour. of Fluid Mechanics 39-1 69-10
- 207 (709) ferro fluids の力学と安定: 表面の相互作用 (1-24) *Zelazo, R.E.*, 外1名
- 208 (709) 成層せん断流の不安定に関する実験: 混合しない流体 (25-48) *Thorpe, S.A.*
- 209 (709) 回転流体層中の表面張力で生ずる振動の不安定性について (49-55) *McConaghy, G.A.*, 外1名
- 210 (705) 一次元超音速外気流と相互作用する二次元粘性層が加速・減速される時生ずる throat の研究 (57-85) *Weinbaum, S.*, 外1名
- 211 (703) 格子で生ずる等方性乱れの場合の fluid line の成長 (87-96) *Corrsin, S.*, 外1名
- 212 (709) 二平行壁間の流線形物体の横方向の運動 (97-115) *Newman, J.N.*
- 213 (703) 潤面円管内の発達した乱れの構造の相似性 (117-141) *Morrison, W.R.B.*, 外1名
- 214 (705) power law bodies 上の超音速流に関する研究 (143-162) *Hornung, H.G.*
- 215 (709) 二次元の層流 wake と噴流について (163-172) *Chen, K.K.*
- 216 (707) 水平板上の自由自然対流 (173-192) *Rotem, Z.*, 外2名
- 217 (709) 細い空気力学上の流線形物体の trailing edge 近傍の流れ (193-207) *Riley, N.*, 外1名
Jour. of Fluid Mechanics 39-2 69-11
- 218 (709) 三次元 dissipative gasdynamics における基礎マトリックス (209-225) *Salathe, E.P.*
- 219 (709) oblique wave 列を有する自由水面上で振動する無限長の shallow draft cylinder に伴うポテンシャル流の問題 (227-255) *Garrison, J.P.*
- 220 (709) 回転系内で微小振動をする円板で生ずる流れのモデル (257-267) *Jones, A.F.*
- 221 (709) 定常回転状態での振動円板の共振効果 (269-281) *Jones, A.F.*

コンビネーション型材料試験機



本機は、基の丸東リーレ型材料試験機の計測部(pat.No.510965)に、種類の異なる二つの負荷部を連結し、兼用駆動する型式のもので、非常に経済的だ、とご好評を頂いております。

組合わせとして、例えば、圧縮型と万能型、あるいは、圧縮型とコンクリート管外圧型や、構造製品曲ゲ型などご希望に応じて製作いたしております。

営業品目

丸東リーレ式万能・圧縮材料試験機
セメント・コンクリート・試験機
土質・アスファルト・理化学試験機
マルチリング(力計)電気計測器
岩石・コンクリート用切断・研磨機

写真は、万能型負荷部(20ton)左、と圧縮型負荷部(100ton)右とを組合せたものです。



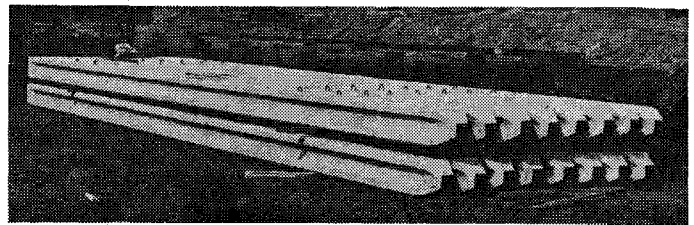
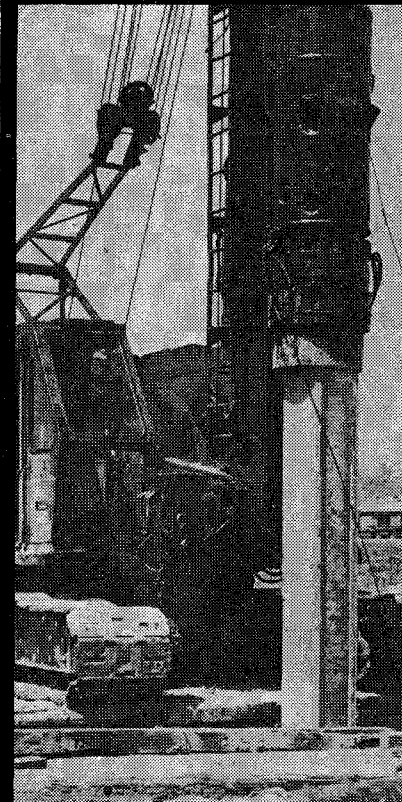
株式会社

丸東製作所

本社 東京都江東区白河2-15-4
電話 東京(642)5121(代表)
京都出張所 京都市中京区壬生西土居の内町3-1
電話 京都(311)7992

伝統と新しい技術

SHパイプ ナガイ



- 中実断面故、衝撃抵抗力が大きい。 ■ 支持力が大きい
- 継手が完全である(低減率0) ■ 経済的な基礎設計が可能

長井興農工業株式会社

新潟市川岸町1丁目48の7 電話 0252(66)5121代
東京(591)0904・大阪(941)9801・秋田(33)0858・仙台(25)1512

- 222 (706) 成層回転非圧縮流体中の電磁流体力学上の波動について (283-287) *Hide, R.*
- 223 (705) expanding contact surface を有する強い爆発で生ずる波動の構造についての気体力学 (289-305) *Cheng, H.K.*, 外1名
- 224 (705) 超音速の軸対称流におかれた段落ちの下流での乱流せん断層の reattachment の実験的研究 (307-319) *Mukerjee, T.*, 外1名
- 225 (709) 半無限回転水路の開端での kelvin 波の反射 (321-328) *Packham, B.A.*
- 226 (709) relaxing gas 中の非線型波の伝播 (329-345) *Ockendon, H.*, 外1名
- 227 (709) 浮力と表面張力をうける水平な熱せられた層中での運動の安定に関するエネルギー法による解析 (347-359) *Davis, S.H.*
- 228 (709) 電子ビームによる, アルゴン中の衝撃波の密度分布の測定 (361-373) *Rchmidt, B.*
- 229 (749) (709) 流体と固体の混相流の流れに関する I.U.T. A.M. シンポジウムの報告 (375-405) *Davidson, J.F.*, 外2名
- 230 (749) (709) 乱流空気流による固体の輸送 (407-432) *Owen, P.R.*
Jour. of Fluid Mechanics 39-3 69-11
- 231 (709) 回転流中の dipole の遷移運動 (433-442) *Miles, J.W.*
- 232 (709) 一様回転流体中を回転軸に沿って運動する物体で生ずる運動 (443-464) *Pritchard, W.G.*
- 233 (709) 熱せられた円筒を通る性質が変化する気体の低レイノルド数の流れ (465-476) *Hodnett, P.F.*
- 234 (709) 多孔体あるいは Hele-Shaw セルを垂直に運動する二流体間の不安定な拡散性境界面での fingers の成長 (477-495) *Wooding, R.A.*
- 235 (763) (709) 有限振幅の内部重力波の伝播に関する理論 (497-509) *Rarity, B.S.H.*
- 236 (709)(1041) メキシコ湾流の separation の二層流体モデル (511-528) *Parsons, A.T.*
- 237 (709) 球対称な単原子気体の真空中への非定常拡散 (529-546) *Grundy, R.E.*
- 238 (702) 層流から乱流への遷移 (547-559) *Williams, J.E.F.*, 外2名
- 239 (706) 電気伝導流体の spin-up について (1) 非定常電磁流体の Ekman-Hartmann 境界層問題 (561-586) *Benton, E.R.*, 外1名
- 240 (709) 球ピストンの拡大による水中の衝撃波の伝播 (587-600) *Bhatnagar, P.L.*, 外2名
- 241 (709) 二酸化炭素の vibrational relaxation に及ぼす微量の水素, 重水素, ヘリウムの影響 (601-610) *Rees, T.*, 外1名
- 242 (709) (702) 有限振幅の周期的擾乱に対する平面ポアジェーユ流の安定 (611-627) *Pekeris, C.L.*, 外1名
- 243 (709) (702) 平面ポアジェーユ流の有限振幅の周期的擾乱に対する中立安定曲線 (629-639) *Pekeris, C.L.*, 外1名
- 244 (709) 回転成層流体中の buoyancy layer に関するノート (640-) *Harrington, J.A.*, 外1名
- 246 (527) プレストレストスチール桁の特性 (11-27) *Hoadley, P.G.*
- 247 (510) (652) (332) ミシガン州での垂鉛めっき鋼橋 (29-35) *Main, R.*
- 248 (351)(1561) 成形弾性型ジョイントシーラー (36-52) *Kozlov, G.S.*
- 249 (351) (1561) ネオプレン成形圧縮型シーラーの接触圧に影響する要因 (53-74) *Hall, F.K.*, 外2名
Highway Research Record 201 67
- 250 (226) (254) ジョージア州における Wild 社製 Autograph A7 の利用 (1-7)
- 251 (223) 州際道路 80 での航空三角測量の解析研究 (8-26) *Chaves, J.R.*
- 252 (223) (204) 航空写真測量のための正確な測標設置 (26-34) *Katibah, G.P.*
- 253 (226) (234) 航空写真測量による地籍測量 (35-40) *McVay, D.M.*
- 254 (235) 写真測量と道路工学 (41-50) *Rutland, R.C.*
- 255 (202) 平面座標を用いる場合の測量の精度 (51-81) *Rryor, W.T.*
Highway Research Record 202 67
- 256 (1510) (1530) ランプでの自動信号制御が交通量に及ぼす効果 (1-31) *McDermott, J.M.*
- 257 (1531) (1581) 交通情報の伝達方法, 第2報, 視聴覚による比較研究 (32-66) *Covault, D.O.*, 外1名
- 258 (1531) (1589) Northway (I-87) における緊急電話施設の評価 (67-75) *Tweedie, R.W.* 外1名
- 259 (1510) (1530) フリーウェイにおける合流部走行に関する全国的な調査研究 (76-122) *Buhr, J.H.*, 外3名
Highway Research Record 203 67
- 260 (152) (1573) 粒状材料を用いた排水構造の強度および透水 (1-7) *Winterkorn, H.F.*
- 261 (1571) ベースコース材料の排水特性に関する研究 (8-28) *Strohm, W.E.*, 外2名
- 262 (1571) サブドレーン用フィルター材料に関する実験 (29-36) *Pillsbury, A.F.*
- 263 (1573) 土粒子のバイジョイントへの侵入に関する室内実験 (37-56) *Nettles, E.H.*, 外1名
- 264 (1575) バイピング現象による西部域ハイウェイの構造物の破壊 (57-76) *Parker, G.G.*, 外1名
- 265 (152) (1571) 泥炭地における排水流 (77-90) *Galvin, L.F.*, 外1名
- 266 (1571) 不透水サーフェス下の含水量の変動 (91-102) *Mickle, J.L.*, 外1名
Highway Research Record 204 67
- 267 (330) (1556) 分極曲線によるカルバートの腐蝕評価方法 (1-10) *Lindberg, R.I.*
- 268 (336) (407) 鉄筋コンクリートパイルを長期間海水に浸した場合の鉄筋の腐蝕 (11-21) *Beaton, J.L.*, 外2名
- 269 (332) 合金鋼の曝気腐蝕試験の解析—試験結果の橋梁への適用 (22-45) *Division of Research and Evaluation, Bureau of Structures and Materials, New Jersey Strasse und Autobahn* 69-7*
- 270 (1561) 酸素アセチレン炎によるコンクリートの変質 (243-255) *Luhr, H.P.*, 外1名
Strasse und Autobahn* 68-8
- 271 (1531) 高速走行時の路面摩擦 (271-279) *Dames, J.*, 外1名

——— 道路・衛生・原子力 ———

Highway Research Record 200 67

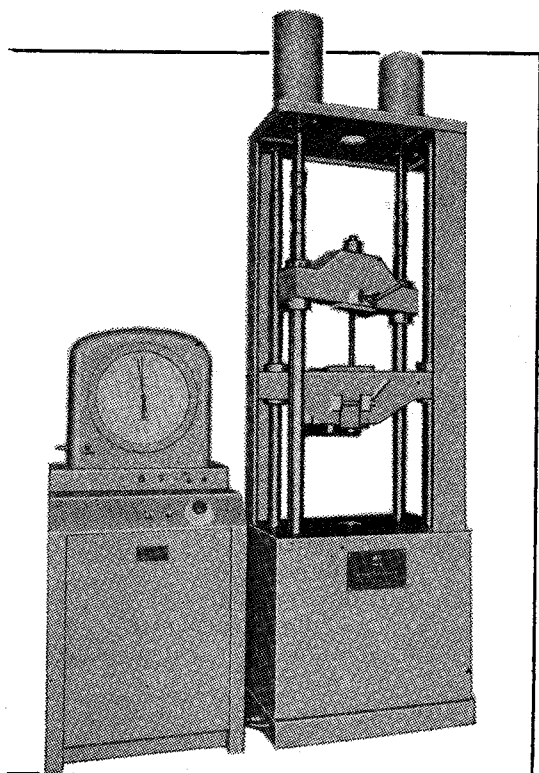
- 245 (587) Silas N. Pearman 橋工事での鋼平板囲基礎工法 (1-10) *Carle, R.J.*

油圧を計測しない？

マルイの電子式万能材料試験機

MIM-734型

電子自動平衡方式 P.A.T.



実荷重を計測します

〈特長〉

1. 油圧シリンダーの油圧力を計測するのではなく、実荷重を特殊荷重計によって検出。
2. 油圧ピストンシリンダー等の摩擦力は検力計に影響しない。
3. 破壊によるショックは全く検力計に影響を受けない。
4. 検力計増幅器はオールソリッド化のため故障なく永年使用。
5. 検力計の目盛板は大型(600mm)6段切換1000分の1目盛。
6. バルブ操作一つで給油、戻り、保持等容易にできる。
7. 零点調節はツマミ1つで簡単にできる。
8. 試験中に荷重の切替えができる。
9. 繰り返し試験もできる。
10. XYレコーダー、ストレンペーサー、ロードペーサー等容易に取付可能。

種類

A	型	100トン
B	型	50トン
C	型	30トン
D	型	20トン
E	型	10トン

創業50年記念 セールス製品

*この他にデジタルカウンターによる荷重検出表示方式も製作



万能材料試験機
 コンクリート試験機
 セメント試験機
 土質試験機
 アスファルト試験機
 水理試験機
 非破壊試験器
 温調器
 計量器

株式会社 丸井製作所
 株式会社 マルイ

東京営業所 〓105 東京都港区芝公園14-9
 TEL-03-434-4717代 テレックス東京242-2670
 大阪営業所 〓536 大阪市城東区蒲生町4-15
 TEL-06-931-3541代 テレックス大阪529-5771
 九州営業所 〓812 福岡市比恵町1番6号 TEL-092-41-0950

- Strasse und Autobahn*** 69-9
- 272 (1521) カナダの高速道路 (315-320) *Georgi, R.A.*
- Strasse und Autobahn*** 69-10
- 273 (1500) (1521) 高速道路の建設費と維持費 1967-1969 (349-354) *Ereund, E.*, 外1名
- 274 (1730) バーゼル交通計画 (355-359) *Ruckli, R.*
- 275 (1562) 瀝青材の無塵プラント (368-370) ローゼンベルグ報告
- Traffic Engineering and Control** 10-9 69-1
- 276 (1521) 高速道路の容量とサービス水準 (デンマーク) (462-465) *Rorbeck, J.*
- 277 (1532) (1730) (1782) バスの優先通行について (466-469) *Constantine, T.*, 外1名
- 278 (1500) (1730) (1782) (1510) 自動車保有に関する動機調査 (ウェールズ) (470-472) *Goss, A.*
- 279 (1734) 駐車場の自動管理 (473-478) *Waltus, T.T.*
- 280 (1730) (1782) セカンドカーの利用状況 (479-) *Ackroyd, L.W.*, 外1名
- 281 (1531) 自動車事故の発生性向 (482-484) *Leeming, J.J.*
- Traffic Engineering and Control** 10-10 69-2
- 282 (1532) 交通のコンピュータ制御 (テキサス) (505-508) *Wilshire, R.L.*
- 283 (1510) (1730) モダナル スプリット (イスラエル) (509-512) *Zahavi, Y.*
- 284 (1510) (1730) タインサイド地区の交通分布に関する研究 (513-516) *Dobson, G.G.*, 外1名
- 285 (1510) 交通量観測の簡便法 (517-) *Marshall, C.W.*
- Traffic Engineering and Control** 10-11 69-3
- 286 (1531) (1782) (1785) 交通騒音の観測と制御 (550-553) *Bottom, C.G.*, 外1名
- 287 (1510) (1782) カーディフにおける交通調査と解析 (553-) *Sheldon, D.M.*
- 288 (1532) (1782) モスクワの広域交通制御 (560-561) *Pechorsky, M.*, 外1名
- 289 (1521) (1532) (1543) ランプ上の流入制御 (563-) *Barney, A.F.*
- 290 (1500) 高速通路の費用便益分析 (566-568) *Mogridge, M.C.*
- 291 (1734) 駐車場の照明 (570-571) *Glanville, J.*
- Traffic Engineering and Control** 10-12 69-4
- 292 (1532) (1590) (1591) M4 高速道路の管理 (ロンドン) (600-602) *Duff, J.T.*
- 293 (1531) 新型路面すべり摩擦測定機 (ソ連) (603-605) *Lukashuk, R.*
- 294 (1730) 新しい都市 “グレーターピーターボロー” (606-609) *Goss, A.*
- 295 (1530) (1782) (1544) ローターリーに関する考察 (610-614) *Bapat, P.*
- 296 (1541) 地方部での道路設計 (615-617) *Llewelyn, F.J.*, 外
- 297 (1510) 交通調査資料の利用方法 (618-620) *Bruton, M.J.*
- Traffic Engineering*** 69-2
- 298 (1531) (1581) 交差点における歩行者の保護 (20-31) *Report, I.T.E.*
- 299 (1530) (1581) 信号交差点の交通流 (32-40) *Sagi, G.S.*, 外1名
- 300 (1530) (1581) 交差点の自動車滞留に関するシミュレーション (42-44) *Jones, R.A.*
- 301 (1531) 飲酒運転と交通事故に関する解析 (45-51) *Roberts, A.W.*, 外1名
- 302 (1531) 日中における車両の点灯と事故減少 (52-54) *Cantilli, E.J.*
- Traffic Engineering*** 69-3
- 303 (1500) (1730) ワシントン地区のバス輸送 (18-24) *Crant, A.A.*, 外1名
- 304 (1531) (1592) 都市高速道路上における夜間工事と安全性 (26-28) *Lee, C.D.*
- 305 (1583) 高速道路の照明 (36-42) *Lindsay, G.F.*, 外1名
- Traffic Engineering*** 69-4
- 306 (1530) (1581) (1532) 計算機による交通広域制御 (16-20) *Wilshire, R.L.*
- Traffic Engineering*** 69-6
- 307 (1530) (1532) 高速道路出入部の交通管理 (14-21) *Newman, L.*, 外2名
- 308 (1531) (1581) (1532) 高速道路合流部の安全管理 (22-25) *Thomas, J.M.*
- 309 (1530) 歩行者の交通流特性 (30-36) *Navin, F.P.D.*, 外1名
- 310 (1530) (1581) (1532) 交差点における右折専用信号 (50-) *Gurnett, G.*
- Traffic Engineering*** 69-7
- 311 (1730) カラカス交通計画における段階計画 (18-23) *Padron, M.*, 外1名
- 312 (1540) (1544) (1532) バスおよび駐車のための専用車線 (24-28) *Morin, D.A.*, 外1名
- 313 (1734) (1794) フィラデルフィア国際空港における駐車特性 (30-33) *Corradino J.C.*, 外1名
- 314 (1584) (1734) 大都市都心部における競技場付属駐車場計画 (44-53) *Hunnicut, J.M.*
- Traffic Engineering*** 69-8
- 315 (1730) ロスアンゼルス地域交通計画 (14-18) *Shaver, J.W.*
- 316 (1532) 高速道路交通管制の新提案 (30-35) *Schaefer, W.E.*, 外1名
- 317 (1531) 交通安全事業の効果 (54-60) *Statement, I.T.E.*
- Traffic Engineering*** 69-9
- 318 (1545) (1583) 高速道路の視認特性 (20-27) *Forbes, T.W.*
- 319 (1532) トロントにおける交差点制御 (28-30) *Whitehead, D.W.*
- 320 (1730) 商業地での交通発生 (32-35) *Miller, F.D.*
- 321 (1532) ダイヤモンド型立体交差の信号表示 (38-41) *Woods, D.L.*
- 322 (1531) 交通事故減少のための交通工学 (48-53) *Anderson, K.W.*
- 323 (1581) アナログによる交通信号モデル (54-58) *Ficklin, N.C.*, 外1名
- Traffic Engineering*** 69-10
- 324 (1730) (1736) バス乗降客へのサービス時間 (16-20) *Kraft, W.H.*, 外1名
- 325 (1530) 織込み区間の交通解析 (22-27) *Berry, F.R.*
- 326 (1531) (1543) ランプウェイの誤進入防止設計 (28-35) *Goodman, L.*
- 327 (1581) 通路標識設置に関する考察 (36-41) *Vasconcelles, J.M.*
- 328 (1530) 信号交差点のシミュレーション (46-53) *Iray, A.D.*, 外1名
- Traffic Engineering** 69-11
- 329 (1530) (1532) 系統式信号の計画 (18-28) *Dare, C.E.*
- Jour. of the W.P.C.F.** 41-3* 69-3

TEAC

データレコーダ データ処理装置 ティアック

《新製品》 F-100



パワースペクトルをリアルタイムで計算

● スペクトラムアナライザ

F-100

■ 実時間でパワースペクトルを計算 C-110
 が与えられた信号の自己相関関数を計算して
 いる時 F-100はその信号のパワースペ
 クトルを計算し、ブラウン管に表示します。

■ 2種のウィンドウ選択可能 相関関数の計
 算は有限な長さの信号データについて有限
 な遅延時間 τ の範囲で行なわれていますの
 で、そのフーリエ変換に際してF-100は
 Do-Nothingウィンドウの他にHamming ウ
 インドウによる補正ができます。

■ 広帯域、高分解能 解析できる信号の周波
 数範囲はDC~2,500Hz、周波数分解能は
 0.000026Hz~26.6Hzと大型電子計算機に
 匹敵する性能を有しています。

● 実時間デジタル相関計

C-110

■ 相関計算は実時間 簡単なスイッチ操作に
 より、アナログ入力信号の自己相関関数、
 相互相関関数を時々刻々と計算し、その結
 果をブラウン管に表示します。

■ 遅延時間は0.2msec~200sec 遅延時間($\Delta\tau$)
 は0.2msec~200secまで入力信号に応じた
 値を細かく選定できます。

■ 0.00005Hz~2,500Hz までの演算可能 演
 算できる周波数範囲は0.00005Hz~2,500Hz
 とこれまでの相関計では計算しえない入力
 信号をも計算できます。

■ 高精度度 遅延時間の発生、計算はデジタ
 クで行われるため、ドリフト等の誤差はな
 く、高い精度の計算結果が得られます。

ティアック株式会社

営業部 160・東京都新宿区
 西新宿1-8-1
 (新宿ビル)
 ☎(343)5151代

営業所

☎大 阪(252)8815代
 ☎名古屋(262)5846代
 ☎広 島(43)5581代
 ☎福 岡(43)5528代
 ☎仙 台(27)1501代
 ☎札 幌(52)4560代

● カタログが用意してあり
 ます。誌名記入の上営業
 部・営業2課宛、または
 各営業所までご請求下さい。

- 330 (1314) 下水処理場の運転と管理 (335-354) *Michel, R.L.*, 外
- 331 (1302)(1317) 下水処理水の上下への再利用 (355-367) *Stander, G.J.*, 外 1 名
- 332 (1392) 河川の水質汚濁防止の強化 (368-376) *Stein, J.E.*
- 333 (1344) 河川汚濁の原因となる農村地域からの雨水流出 (377-384) *Weidner, R.B.*, 外 3 名
- 334 (1325) 噴霧式かんがいによるかん詰工場廃水処理 (385-391) *Bendixen, T.W.*, 外 3 名
- 335 (1340)(1392) 油濁防止の現状 (392-412) *Swift, W.H.*
- 336 (1314) イスラエルにおける下水処理場の維持管理 (413-418) *Lubzens, M.*
- 337 (1312) 寒冷地における下水管渠の維持管理 (418-423) *Ayers, F.E.*
- 338 (1398) 行政機関の人材確保 (424-428) *Macy, Jr., J.W.*
- 339 (1325) 工場廃水のラグーン処理 (429-439) *Gloyna, E.F.*, 外
- 340 (1324) 臨海コンビナートにおける工場排水処理 (440-444) *Meriwether, G.B.*
- 341 (1316) (1325) 放射性元素を用いた下水処理 (445-458) *Balantaine, D.S.*, 外 3 名
- 342 (1316)(1330) 散気装置の酸素移動効果 (459-473) *Leary, R.D.*, 外 2 名
- 343 (1310) 下水処理場の安全設計 (474-481) *Vrooman, Jr., M.*
- 344 (1332)(1336) 塩素化合物の性質 (482-485) *Baker, R.J.*
Jour. of the W.P.C.F. 41-4* 69-4
- 345 (1340) (1313) (1392) (1612) 深層トンネルによる雨水の潜水 (515-534) *Koelzer, V.A.*, 外 2 名
- 346 (1310) (1314) サウスチャールストン処理場の拡張 (535-546) *Payne, R.A.*, 外 2 名
- 347 (1318) 汚泥処理の社会経済学的考察 (547-552) *Mar, B.W.*
- 348 (1344) ハドソン川の広域的汚濁調査 (553-566) *Vonic, M.*, 外 1 名
- 349 (1331) (1332) 塩素処理による下水中ウイルスの不活性化 (567-575) *Lothrop, T.L.*
- 350 (1314) ロンドンのベクトンおよびクロスネス処理場 (576-590) *Bruce, A.*
- 351 (1392) (1332) 雨水の消毒 (591-606) *Pavia, E.H.*, 外 1 名
- 352 (1318) 汚泥の遠心分離処理 (607-628) *Albertson, O.E.*, 外
- 353 (1335) (1330) 散水バルブのエアレーション効果 (629-639) *Elder, R.A.*, 外 2 名
- 354 (1330) 下水処理水の脱酸素と水温の関係 (640-659) *Zanoni, A.E.*
- 355 (1324) (1325) 製革工場廃水の処理実験 (660-678) *Tomlinson, H.D.*, 外 3 名
Jour. of the W.P.C.F. 41-5* 69-5
- 356 (1330) リンの除去 (701-713) *Nesbitt, J.B.*
- 357 (1316) (1330)(1331) 分離しにくい活性汚泥 (714-724) *Pipes, W.O.*
- 358 (1331) (1344) 汚濁感潮水域におけるサルモネラ菌の検出 (725-737) *Brezenski, F.T.*, 外 1 名
- 359 (1317) (1331) 再利用する処理水中のサルモネラ菌の残存と蘇生 (738-744) *Butler, C.E.*, 外 1 名
- 360 (1345) 入江の富栄養化 (745-764) *Waldichuk, M.*
- 361 (1316)(1330) 活性汚泥によるリン酸塩の摂取率の相違 (765-771) *Wells, W.N.*
- 362 (1302) (1391) (1794) 空港における給水と廃水の再利用計画 (772-784) *Bryant, E.A.*, 外 1 名
- 363 (1325) (1360) ラグーンによる酪農廃水処理 (785-795) *Bhagat, S.K.*, 外 1 名
- 364 (1324) (1325) 製鉄工場廃水処理 (796-807) *Leidner, R.N.*,
- 365 (1331) 土壌中における下水有機物の分解 (808-813) *Thomas, R.E.*
- 366 (1314) (1316) 散水汙床の維持費 (814-821) *Franzmathes, J.R.*
- 367 (1318) 消化汚泥の農地還元 (822-830) *Hinesly, T.D.*, 外
- 368 (1331) ガスクロマトグラフによる下水有機物の測定 (831-835) *Lysyj, I.*, 外 2 名
Jour. of the W.P.C.F. 41-5-2* 69-5
- 369 (1316)(1330)(1331) 好気性高温消化に関するシュミレーション (R 127-R 141) *Kambhu, K.*, 外 1 名
- 370 (1314) (1316) 下水処理場における油脂類の除去 (R 142-R 154) *Loehr, R.C.*, 外 1 名
- 371 (1346) 湖沼深層における汚濁の影響 (R 155-R 159) *Eklund, H.*
- 372 (1314) 嫌気性汙床による下水処理 (R 160-R 173) *Young, T.C.*
- 373 (1346) 貯水池における γ -BHC の分解 (R 174-R 188) *Newland, L.W.*, 外 2 名
- 374 (1344) 石油廃水とニジマスの味の関係 (R 189-R 196) *Krishnaswami, S.K.*, 外 1 名
- 375 (1318) 活性汚泥の濃縮 (R 197-R 214) *Javaheri, A.R.*, 外 1 名
- 376 (1318) 好気性消化汚泥の脱水性 (R 215-R 238) *Randall, C.W.*, 外 1 名
Jour. of the W.P.C.F. 41-6* 69-6
- 377 (1310) 廃水と水質汚濁防止に関する文献評論—1968 年 (875-1251)
- 378 (1330)(1331) 分析方法 (875-906) *Skrinde, R.T.*, 外 1 名
- 379 (1314) 廃水処理 (907-993) *Bunch, R.L.*, 外 10 名
- 380 (1340) 水質汚濁 (994-1134) *Katz, M.*, 外 19 名
- 381 (1320) 産業廃水 (1135-1222) *Gove, G.W.*, 外 12 名
- 382 (1350) 産業廃水—放射能関係 (1223-1251) *Straub, C.P.*
Jour. of the W.P.C.F. 41-7* 69-7
- 383 (1316)(1325) 石灰処理と活性汚泥法の組合せによるリン酸除去 (1259-1276) *Schmid, L.A.*, 外 1 名
- 384 (1320) (1392) 産業廃水処理計画 (1277-1284) *Black, H.H.*
- 385 (1330)(1316) 汚泥容量指標(SVI)の意義 (1285-1291) *Dick, R.I.*, 外 1 名
- 386 (1314) (1337) 下水処理場の自動制御 (1292-1298) *Bradley, E.F.*
- 387 (1316) 長時間エアレーション処理場の評価 (1299-1318) *Eye, T.D.*, 外 3 名
- 388 (1346) 五大湖におけるヨウ素, 臭素, 塩素の動態 (1319-1329) *Tiffany, M.A.*, 外 2 名
- 389 (1346)(1331) レクリエーション施設として利用される貯水池の細菌学的考察 (1330-1339) *Barbaro, R.D.*, 外 3 名
- 390 (1316)(1318) 繊維質の活性汚泥 (活性汚泥バルキングの対策) (1340-1352) *Pasveer, A.*
- 391 (1390) 水資源開発計画の展望 (1353-1357) *Hufschmidt, M.M.*
- 392 (1325) ポテト工場の廃水処理 (1358-1367) *Grames, L.M.*, 外 1 名
- 393 (1390) 水資源開発計画達成のための考察 (1368-1376) *Fox, I.K.*
- 394 (1316) 活性汚泥法処理場管理の基礎 (1377-1382) *Chasick, A.H.*

砂質土に最適!

土質安定剤

サンクラウト

特長

- 高分子系薬液中最も廉価
- 注入量当り固結容積が最も大きい
- 海水や有機質土にも有効
- 注入圧が低く、浸透性が優れている
- 固結土の強度が高く、遮水性も優れている。

用途

- 漏・湧水防止・止水
- 地盤の安定強化
- その他/法面安定/防塵処理/路床路盤の安定処理/凍上防止など

山陽パルプの建設資材

- サンフロース (シールド裏込材用リターダー)
- サンフロース (セメントグラウト用助剤)
- サンフロース・R・A (コンクリート減水剤)
- サンローズDM-1 (泥水工法用CMC)
- パルフロアー (高級積層床材)



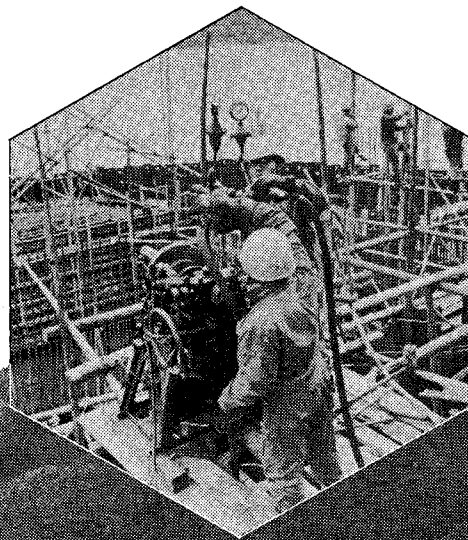
山陽パルプ株式会社

東京都千代田区丸の内1-4-5 山陽パルビル

本社 化成品課 大阪府東区安土町 電話(06)551-1111

特約 販売店 株式会社 島田商会

本社 化工品課 大阪府東区安土町 電話(06)551-1111
 東京支店 化成品課 電話(03)551-1111 大阪支店 電話(06)551-1111
 名古屋出張所 電話(052)551-1111 福岡事務所 電話(092)551-1111



SAN

GROUT



サンクラウトが均等に浸透固結した細砂